

Starkniederschlagshöhen und -spenden gemäß KOSTRA-DWD-2010R

Auswertungszeitraum von 1951 - 2010, Januar - Dezember

Rasterfeld: 42013

Zeile: 42

Spalte: 13

Seite: 1/2

| Dauerstufe D | Wiederkehrzeit T | | | | | | | | | | | | | | | | | | |
|--------------|------------------|------|------------|------|------------|------|------------|------|------------|------|------------|------|------------|------|------------|------|------------|-------|------------|
| | 1 a | | 2 a | | 3 a | | 5 a | | 10 a | | 20 a | | 30 a | | 50 a | | 100 a | | |
| min | Std | mm | l / (s ha) | mm | l / (s ha) | mm | l / (s ha) | mm | l / (s ha) | mm | l / (s ha) | mm | l / (s ha) | mm | l / (s ha) | mm | l / (s ha) | mm | l / (s ha) |
| 5 | | 4,8 | 160,0 | 6,5 | 216,7 | 7,4 | 246,7 | 8,7 | 290,0 | 10,3 | 343,3 | 12,0 | 400,0 | 13,0 | 433,3 | 14,2 | 473,3 | 15,8 | 526,7 |
| 10 | | 7,7 | 128,3 | 9,9 | 165,0 | 11,1 | 185,0 | 12,7 | 211,7 | 14,9 | 248,3 | 17,0 | 283,3 | 18,3 | 305,0 | 19,9 | 331,7 | 22,1 | 368,3 |
| 15 | | 9,6 | 106,7 | 12,1 | 134,4 | 13,6 | 151,1 | 15,5 | 172,2 | 18,0 | 200,0 | 20,5 | 227,8 | 22,0 | 244,4 | 23,9 | 265,6 | 26,4 | 293,3 |
| 20 | | 11,0 | 91,7 | 13,8 | 115,0 | 15,4 | 128,3 | 17,5 | 145,8 | 20,3 | 169,2 | 23,2 | 193,3 | 24,8 | 206,7 | 26,9 | 224,2 | 29,7 | 247,5 |
| 30 | | 12,8 | 71,1 | 16,1 | 89,4 | 18,0 | 100,0 | 20,4 | 113,3 | 23,7 | 131,7 | 27,0 | 150,0 | 29,0 | 161,1 | 31,4 | 174,4 | 34,7 | 192,8 |
| 45 | | 14,4 | 53,3 | 18,2 | 67,4 | 20,5 | 75,9 | 23,3 | 86,3 | 27,2 | 100,7 | 31,0 | 114,8 | 33,3 | 123,3 | 36,1 | 133,7 | 40,0 | 148,1 |
| 60 | | 15,3 | 42,5 | 19,6 | 54,4 | 22,1 | 61,4 | 25,3 | 70,3 | 29,6 | 82,2 | 33,9 | 94,2 | 36,4 | 101,1 | 39,6 | 110,0 | 43,9 | 121,9 |
| 90 | | 16,8 | 31,1 | 21,5 | 39,8 | 24,2 | 44,8 | 27,7 | 51,3 | 32,3 | 59,8 | 37,0 | 68,5 | 39,7 | 73,5 | 43,2 | 80,0 | 47,8 | 88,5 |
| 120 | 2 | 18,0 | 25,0 | 23,0 | 31,9 | 25,9 | 36,0 | 29,5 | 41,0 | 34,4 | 47,8 | 39,4 | 54,7 | 42,2 | 58,6 | 45,9 | 63,8 | 50,8 | 70,6 |
| 180 | 3 | 19,9 | 18,4 | 25,2 | 23,3 | 28,3 | 26,2 | 32,3 | 29,9 | 37,6 | 34,8 | 42,9 | 39,7 | 46,1 | 42,7 | 50,0 | 46,3 | 55,3 | 51,2 |
| 240 | 4 | 21,3 | 14,8 | 26,9 | 18,7 | 30,2 | 21,0 | 34,4 | 23,9 | 40,0 | 27,8 | 45,7 | 31,7 | 49,0 | 34,0 | 53,2 | 36,9 | 58,8 | 40,8 |
| 360 | 6 | 23,4 | 10,8 | 29,5 | 13,7 | 33,1 | 15,3 | 37,6 | 17,4 | 43,7 | 20,2 | 49,9 | 23,1 | 53,4 | 24,7 | 57,9 | 26,8 | 64,1 | 29,7 |
| 540 | 9 | 25,8 | 8,0 | 32,4 | 10,0 | 36,3 | 11,2 | 41,1 | 12,7 | 47,8 | 14,8 | 54,4 | 16,8 | 58,3 | 18,0 | 63,2 | 19,5 | 69,8 | 21,5 |
| 720 | 12 | 27,6 | 6,4 | 34,6 | 8,0 | 38,7 | 9,0 | 43,9 | 10,2 | 50,9 | 11,8 | 57,9 | 13,4 | 62,0 | 14,4 | 67,2 | 15,6 | 74,2 | 17,2 |
| 1080 | 18 | 30,4 | 4,7 | 38,0 | 5,9 | 42,4 | 6,5 | 48,0 | 7,4 | 55,6 | 8,6 | 63,2 | 9,8 | 67,6 | 10,4 | 73,2 | 11,3 | 80,8 | 12,5 |
| 1440 | 24 | 32,5 | 3,8 | 40,5 | 4,7 | 45,2 | 5,2 | 51,2 | 5,9 | 59,2 | 6,9 | 67,2 | 7,8 | 71,9 | 8,3 | 77,9 | 9,0 | 85,9 | 9,9 |
| 2880 | 48 | 40,7 | 2,4 | 49,2 | 2,8 | 54,2 | 3,1 | 60,4 | 3,5 | 68,9 | 4,0 | 77,4 | 4,5 | 82,4 | 4,8 | 88,7 | 5,1 | 97,2 | 5,6 |
| 4320 | 72 | 46,4 | 1,8 | 55,2 | 2,1 | 60,3 | 2,3 | 66,8 | 2,6 | 75,6 | 2,9 | 84,3 | 3,3 | 89,5 | 3,5 | 95,9 | 3,7 | 104,7 | 4,0 |

Angaben in mm: Bemessungsniederschlagswerte h(n)

Angaben in l / (s ha): Regenspende R(n) mit $R(n) = h(n) \times 1,666667 / D[\text{min}]$

Toleranzbereiche:

+/- 10 % für $1 a \leq T \leq 5 a$

+/- 15 % für $5 a < T \leq 50 a$

+/- 20 % für $50 a < T \leq 100 a$

Datenbasis: KOSTRA-DWD-2010R des Deutschen Wetterdienstes. Die Regenspende wurde auf Basis des Bemessungsniederschlags zur jeweiligen Andauer berechnet.

Für die Richtigkeit und Aktualität der Angaben wird keine Gewähr übernommen. Erstellt 07/2022.

Starkniederschlagshöhen und -spenden gemäß KOSTRA-DWD-2010R

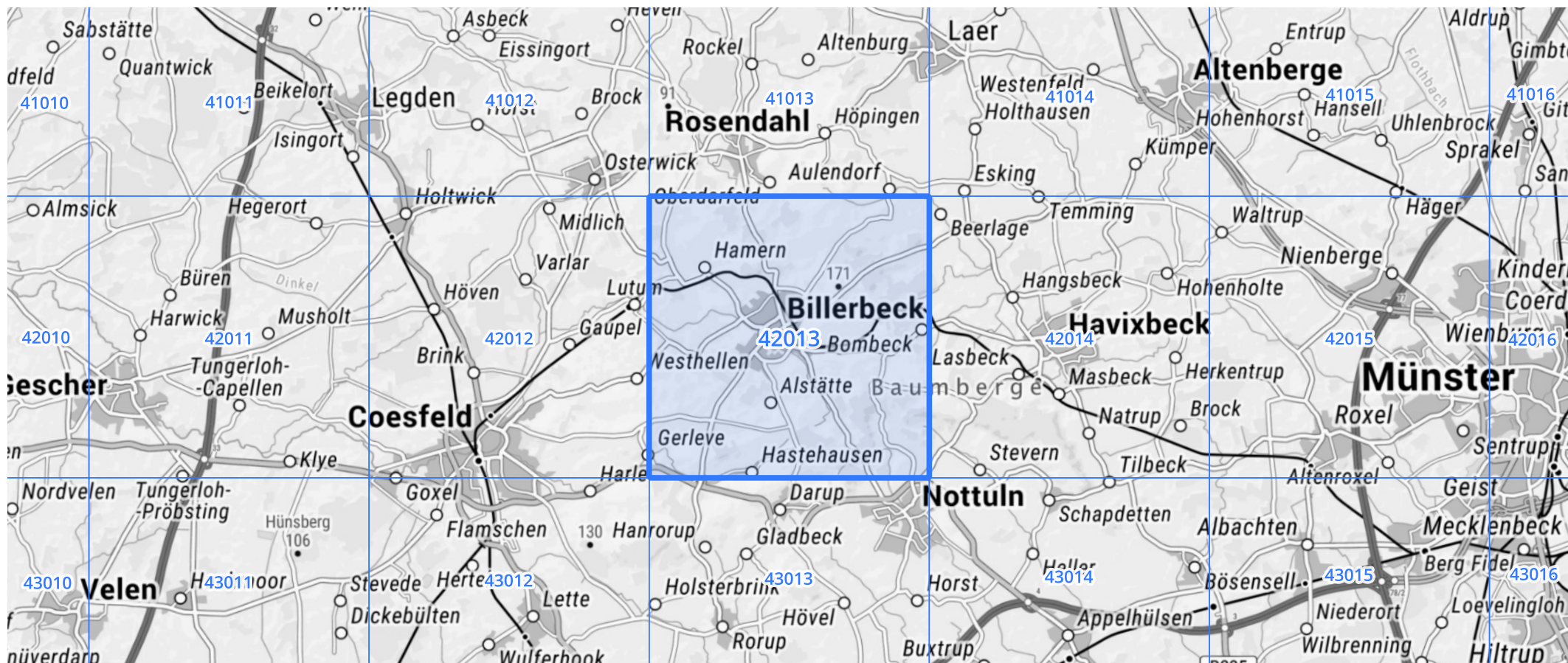
Auswertungszeitraum von 1951 - 2010, Januar - Dezember

Rasterfeld: 42013

Zeile: 42

Spalte: 13

Seite: 2/2



Quelle Rasterdaten: KOSTRA-DWD-2010R des Deutschen Wetterdienstes.

Kartendarstellung: © Bundesamt für Kartographie und Geodäsie (2022), Datenquellen: https://sgx.geodatenzentrum.de/web_public/gdz/datenquellen/Datenquellen_TopPlusOpen.html

Für die Richtigkeit und Aktualität der Angaben wird keine Gewähr übernommen. Erstellt 07/2022.